

ОБЗОРЫ

УДК 547.783.9:789.2:825:544.228:546.152:541.69

ГЕТЕРОАРОМАТИЧЕСКИЕ ТИОАМИДЫ:  
СТРУКТУРА И УСТОЙЧИВОСТЬ КОМПЛЕКСОВ ПЕРЕНОСА ЗАРЯДА С ИОДОМ,  
АНТИТИРЕОИДНАЯ АКТИВНОСТЬ

© 2010 М.С. Черновьянц, А.О. Долинкин\*

Южный федеральный университет, Ростов-на-Дону

Статья поступила 8 декабря 2009 г.

В обзоре обобщены структурные исследования продуктов взаимодействия препаратов антитиреоидного действия (гетероароматических тиоамидов) с иодом. Рассмотрены  $n-\sigma^*$ -аддукты производных имидазола, тиазола, оксазола, пиридина, урацила с молекулярным иодом, иодониевые соли, а также дисульфиды, образованные в результате окисления тионов в иодкоординирующих растворителях. Показано (в основном по данным рентгеноструктурного анализа и Рамановской спектроскопии), что структурные параметры молекулярных комплексов иода высокочувствительны к изменению типа гетероатома и заместителям в гетерокольце. Проанализировано влияние структуры гетероароматических тиоамидов на механизм их антитиреоидной активности.

**Ключевые слова:** гетероароматические тиоамиды, комплексы переноса заряда с иодом, иодониевые соли, дисульфиды моно(ди)-катионов, структура, устойчивость, спектроскопические исследования, антитиреоидные препараты.

ВВЕДЕНИЕ

Гетероароматические тиолы и тионы привлекают внимание химиков, фармакологов и биохимиков. Это обусловлено способностью данных соединений участвовать в перехвате свободных радикалов, благодаря наличию атома серы. Производные гетероароматических тиоамидов широко известны как лекарственные препараты с различной фармакологической активностью: противовирусной, антибактериальной, противогрибковой, противотуберкулезной (производные пиридина) [1], их применяют для лечения гипертиреоза (производные имидазола и пирамидина) [2], лейкемии (производные пурина) [3], цереброваскулярных заболеваний [4], вируса HSV-1 [5], болезней Альцгеймера, Хантингтона, Паркинсона, мигреней, депрессий, нарушений памяти [6], в качестве ингибиторов обратной транскриптазы вируса иммунодефицита человека (производные тиоурацила) [7, 8].

Фармакофором, ответственным за антитиреоидное действие, считается тиоамидная группа [9, 10], включенная в структуры соединений на основе имидазола, оксазола, тиазола, гидантоина, тиадиазола, урацила, барбитуратов, приобретающих после этого антитиреоидные и гормоногенные свойства. Тиоамиды ингибируют образование тиреоидных гормонов: T<sub>4</sub> (3,3',5,5'-тетраиод-L-тиронина) и его активной формы T<sub>3</sub> (3,3',5-трииод-L-тиронина), главным образом, на этапе органификации иода — включения активированного иода в тирозильные фрагменты тиреоглобулина [11—14].

В ряде научных публикаций [15, 16] отмечена роль тиреостатиков в организме как "иодных губок", улавливающих молекулярный иод, I<sup>+</sup> или HOI, а также представлены результаты исследований *in vitro* продуктов взаимодействия молекул тиоамидов с активными формами иода, отличающихся по составу и структуре [17—23].

\* E-mail: adolinkin@mail.ru

Активные формы иода *in vivo* иодируют последовательно третье и пятое положения фенольного кольца молекул тирозина в составе тиреоглобулина, формируя 3,5-дииодо-L-тирозин, прекурсор Т<sub>4</sub>. Следующий этап — синтез Т<sub>4</sub> из иодированных тирозинов. Две молекулы дииодтирозинов вступают в окислительную реакцию конденсации, механизм которой до сих пор точно не установлен [ 24—27 ]. Гетероароматические тиоамиды препятствуют конденсации иодтирозинов с образованием иодтиронинов. Согласно некоторым данным [ 28 ], такие антитиреоидные средства, как пропилтиоурацил, сильнее подавляют конденсацию иодтирозинов, чем процесс иодирования тирозинов.

В научной периодике последнего десятилетия представлены структурное многообразие и критерии поиска новых препаратов тиреостатического действия [ 29—34 ]. Интерес к теоретическому изучению комплексов гетероароматических тиоамидов с иодом в первую очередь обусловлен необходимостью установления взаимосвязи "структура—свойство—антитиреоидная активность", а также многообразием, необычным строением и термодинамической устойчивостью рассматриваемых соединений [ 15, 35—37 ].

Реакционная способность гетероароматических тиоамидов и их гидрированных аналогов по отношению к молекулярному иоду, стехиометрия и устойчивость образующихся комплексов переноса заряда (КПЗ), а также молекулярная и кристаллическая структура исследованы рядом авторов [ 38—48 ].

Методы структурного анализа продуктов взаимодействия молекул тиреостатиков с активными формами иода представлены рентгеновской дифракцией [ 16—23 ], UV/Vis [ 15, 45 ], ЯМР [ 23 ], ИК [ 20, 21 ] и Рамановской спектроскопией [ 17, 44, 46 ]. Термодинамические параметры реакций комплексообразования определены спектрофотометрически [ 41 ].

Координирующая способность тиоамида, выполняющего функцию эффективной "иодной губки", зависит от σ-донорных свойств молекулы, обусловленных природой гетероароматического фрагмента и типом гибридизации орбиталей атома серы [ 48 ]. Молекулы гетероароматических тионов могут быть представлены в растворе или твердой фазе равновесием тиоамид—тиоиминольной таутомерных форм. Обычно кето-таутомер более стабилен, чем енольный, хотя дополнительная стабилизация через образование межмолекулярной водородной связи или более полная π-электронная делокализация могут быть причиной предпочтительности енольной формы [ 49—51 ].

Склонность гетероароматических тионов к окислению, а молекулы иода к гетеролизу в составе КПЗ или под действием растворителей приводит к образованию целого спектра иодсодержащих соединений. Среди них можно выделить аддукты (внешнесферные комплексы), полученные координацией донором одной или нескольких (*n*) молекул иода состава D—S·I<sub>2</sub> и D—S·*n*I<sub>2</sub> и характерные для производных имидазола, оксазола, тиазола, урацила [ 15, 20, 22 ]; внутрисферные комплексы состава [D—S—I]<sup>+</sup>·I<sup>-</sup>; иодониевые соли на основе тионов пятичленных гетероциклов, содержащие фрагмент D—S—I<sup>+</sup>—S—D [ 18, 21 ] и продукты конечного окисления тиоамида в иодкоординирующих растворителях состава [D—S—S—D]<sup>2+</sup>·(I<sub>*n*</sub>)<sub>2</sub>, где *n* = 1 или 3 [ 16, 20, 23 ].

### СТРУКТУРНЫЕ И СПЕКТРАЛЬНЫЕ ХАРАКТЕРИСТИКИ КПЗ ТИОАМИДОВ С ИОДОМ. МОЛЕКУЛЯРНЫЕ АДДУКТЫ

Реакция между молекулами гетероароматических тиоамидов и иода в малополярных растворителях приводит к образованию аддуктов, в основном состава 1:1, посредством донирования электронной плотности с ВЗМО тиоамида на НСМО (σ\*-типа) молекулы иода.

Используя данные рентгеноструктурного анализа и Рамановской спектроскопии, авторы [ 52—54 ] на основании порядка связи I—I предлагают классифицировать молекулярные аддукты тионов с иодом следующим образом:

- 1) D = S···I—I;
- 2) D—S—I—I;
- 3) [D—S—I]<sup>+</sup>·I<sup>-</sup> или [D—S—I]<sup>+</sup>·I<sub>3</sub><sup>-</sup>.

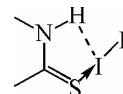
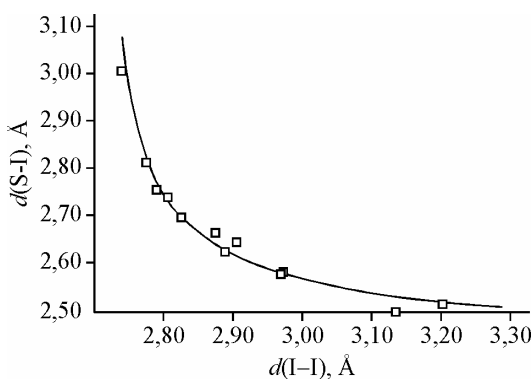


Рис. 1 (слева). Зависимость  $d(S-I)$  от  $d(I-I)$  для аддуктов тиоамидов с иодом [ 54 ]

Рис. 2 (справа). Образование водородной связи при копланарной координации молекулы иода в аддукте  $D \cdot I_2$  [ 15 ]

Первые два типа аддуктов можно отнести к внешнесферным комплексам иода, а третий — к внутрисферным.

Вследствие координации донором межатомное расстояние в молекуле иода увеличивается. Располагая значением длины связи  $I-I$  в аддукте, можно оценить ее порядок по уравнению, предложенному Полингом:

$$d = d_0 - 0,85 \lg n,$$

где  $d$  и  $d_0$  — расстояния  $I-I$  в составе аддукта и в свободном состоянии ( $2,67 \text{ \AA}$ );  $n$  — порядок связи в молекуле иода.

Первый тип КПЗ характеризуется незначительным удлинением связи  $I-I$  до значений  $2,72-2,85 \text{ \AA}$  и порядком связи  $n(I-I) > 0,6$  вследствие слабого взаимодействия молекулы иода с донором в составе аддукта [ 55, 56 ]. В Рамановском спектре наблюдается один пик в области  $140-180 \text{ cm}^{-1}$ . Частота его ниже, чем в молекуле свободного иода ( $180 \text{ cm}^{-1}$ ) [ 57 ].

Второй тип КПЗ характеризуется расстоянием  $I-I \sim 2,90 \text{ \AA}$ , а порядок связи находится в пределах  $0,6-0,4$  [ 58 ]. Таким образом, ковалентное взаимодействие в фрагменте  $S-I-I$  можно рассматривать как образование делокализованной трехцентровой четырехэлектронной связи. В Рамановском спектре наблюдаются два пика, соответствующие симметричному  $\nu_{\text{sym}}(S-I-I) 120 \text{ cm}^{-1}$  и антисимметричному колебанию  $\nu_{\text{asym}}(S-I-I) 150-200 \text{ cm}^{-1}$  [ 58 ].

Аддукты, относящиеся к третьему типу [ 58 ], классифицируют как внутрисферные комплексы  $[D-S-I]^+ \cdot I^-$ . Связь  $I-I$  удлиняется ( $> 3,01 \text{ \AA}$ ), однако остается значительно короче суммы ван-дер-ваальсовых радиусов ( $\sim 4,2 \text{ \AA}$ ), порядок связи менее 0,4 [ 53 ].

Авторы [ 54 ] на основании кристаллографических данных молекулярных комплексов тиоамидов с иодом графически представили зависимость расстояния между донором и иодом  $d(S-I)$  от расстояния между атомами иода в молекуле  $d(I-I)$  в виде гиперболы (рис. 1).

Гиперболическая зависимость показывает, что классификация антитиреоидных соединений по типу взаимодействия молекулы иода с S-донорным атомом тиоамида весьма условна. Она скорее иллюстрирует непрерывное изменение состояния молекулы иода в аддукте: от практически дискретной до подвергшейся полному гетеролизу во внешнесферных комплексах типа  $[D-S-I]^+ \cdot I^-$ .

Наиболее распространенные в мировой медицинской практике для лечения гипертиреоза [ 59 ] производные имидазола: имидазолин-2-тион, 1-метил-имидализолин-2-тион и 1,3-диметил-имидализолин-2-тион реагируют с молекулярным иодом, образуя КПЗ  $n-\sigma^*$ -типа, что находит свое отражение в UV/Vis-спектре появлением интенсивной полосы переноса заряда. Для комплексов типа  $D \cdot I_2$  она обычно лежит в области  $300-350 \text{ nm}$  [ 15 ]. В Рамановском спектре колебательная частота продукта взаимодействия 1-метил-имидализолин-2-тиона с молекулярным иодом зафиксирована при  $141 \text{ cm}^{-1}$  [ 16 ]. Молекула иода в составе комплекса  $D \cdot I_2$  может располагаться в плоскости органического фрагмента или же перпендикулярно ей. Многие исследователи в качестве аргументов стабилизации первой структуры (копланарной) приводят образование водородной связи [ 15, 35, 60 ] (рис. 2).

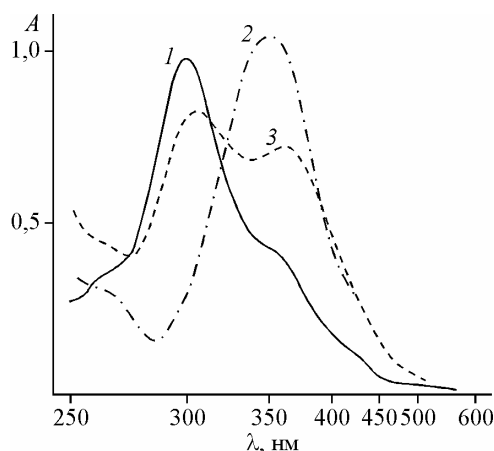


Рис. 3. UV/Vis-спектры комплексов: имидазолин-2-тиона,  $c = 4,68 \cdot 10^{-5}$  М (1), 1,3-диметилимидазолин-2-тиона,  $c = 4,53 \cdot 10^{-5}$  М (2), 1,4,5-триметилимидазолин-2-тиона,  $c = 3,87 \cdot 10^{-5}$  М (3) с молекулярным иодом в стехиометрических соотношениях в  $\text{CH}_2\text{Cl}_2$  [63]

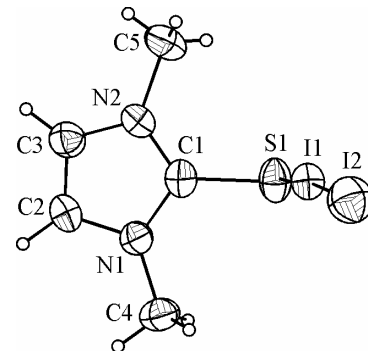


Рис. 4. ORTEP-диаграмма кристаллической модификации аддукта 1,3-диметилимидазолин-2-тиона с молекулярным иодом ( $d(\text{I}-\text{I}) = 2,967$  Å [64])

Авторами [61] проведен комплекс исследований UV/Vis-спектров и теоретический расчет структур (методами HF/LANL2DZ\* и MP2(full)/LANL2DZ\*/LANL2DZ\*) аддуктов группы тиокарбенилов с иодом состава 1:1. Комpleксы тиоамидов, имеющих группу N—H, которая участвует в образовании водородной связи с  $\text{I}_2$  в составе аддукта, обладают максимумом светопоглощения в области 294—302 нм. Таким образом, доноры, такие как имидазолин-2-тион, координируют молекулу иода копланарно, а полоса переноса заряда аддукта (рис. 3, кривая 1) лежит в интервале 294—302 нм. В случае, когда образование водородной связи невозможно, например для 1,3-диметилимидазолин-2-тиона, молекула иода в составе аддукта ориентируется ортогонально плоскости донора. Максимум поглощения комплекса в этом случае лежит в области 350 нм (см. рис. 3, кривая 2). Спектральная кривая 3 (см. рис. 3) иллюстрирует наличие в растворе аддуктов обеих конфигураций.

Для молекулы 1-метилимидазолин-2-тиона, например, характерно образование  $\sigma$ -комплекса с ортогональным расположением молекулы иода ( $\lambda_{\max} = 340$  нм) [23]. Образование тионом КПЗ с иодом подтверждается значительным смещением в область сильного поля сигнала NH-протона (уш.с, 1 Н, NH) с 11,71 до 9,85 м.д. в ЯМР<sup>1</sup>Н спектре в  $\text{CDCl}_3$  [62].

1,3-Диметилимидазолин-2-тион образует с молекулой иода две кристаллические модификации КПЗ состава 1:1 (рис. 4).

Длины связей I—I структурно различающихся комплексов составляют 2,967 и 2,984 Å, что соответствует порядкам связи 0,45 и 0,43 [64]. Молекулярные аддукты обеих кристаллических модификаций на основании рассчитанных порядков связи I—I можно отнести ко второму типу.

Имидазолидин-2-тион, гидрированный аналог, образует с молекулярным иодом в дихлорметане соединение состава D—2I<sub>2</sub> [65]. Длина связи I—I (3,147 Å) и ее порядок (0,27) позволяют отнести это соединение к аддуктам третьего типа.

Конденсированный аналог имидазолин-2-тиона — бензимидазолин-2-тион образует молекулярный аддукт с элементарным иодом состава  $[(\text{C}_7\text{H}_6\text{N}_2\text{S}\cdot\text{I}_2)_2\cdot\text{I}_2\cdot 2\text{H}_2\text{O}]$ . Длина связи I—I в непосредственно координируемой тиоамидом молекуле иода составляет 2,989 Å, порядок связи  $n = 0,421$ , что позволяет отнести это соединение к аддуктам второго типа (рис. 5) [18].

В более поздней работе авторами [21] описана смесь продуктов взаимодействия бензимидазолин-2-тиона с иодом состава  $\{[(\text{C}_7\text{H}_6\text{N}_2\text{S})_2]^+\text{I}_3^-\cdot(\text{C}_7\text{H}_6\text{N}_2\text{S})\text{I}_2\}$ , включающая молекулярный аддукт и трииодид иодониевой соли (рис. 6).

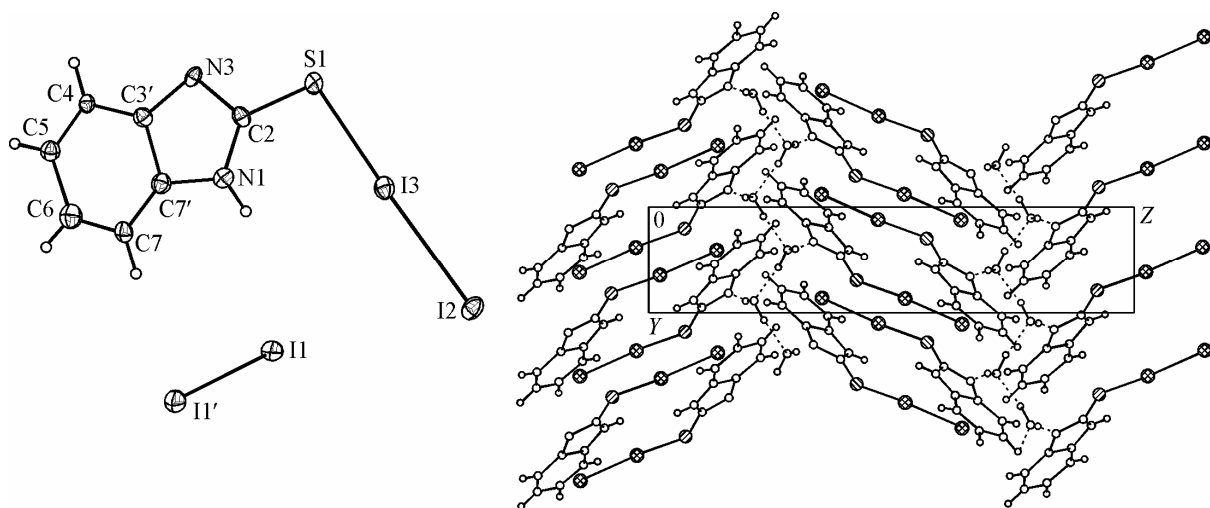


Рис. 5. ORTEP-диаграмма и элементарная ячейка кристаллической структуры соединения  $[(C_7H_6N_2S \cdot I_2)_2 \cdot I_2 \cdot 2H_2O]$  [ 18 ]

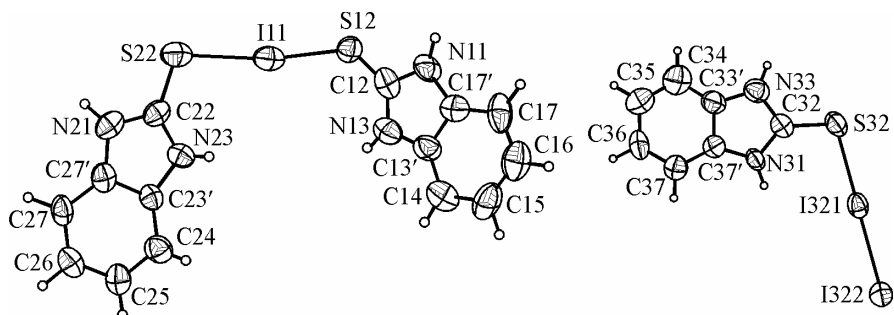


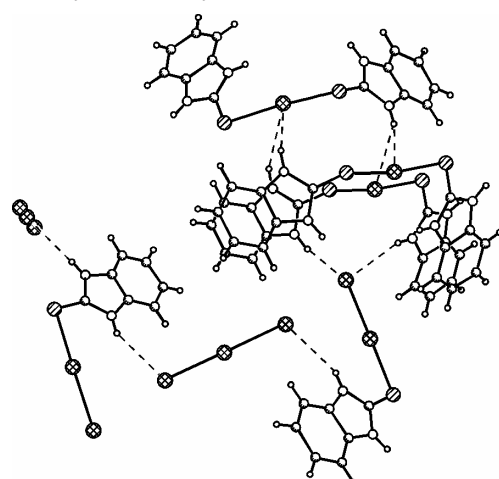
Рис. 6. ORTEP-диаграммы иодониевой соли (слева) и молекулярного аддукта с иодом бензимидазолин-2-тиона (справа) [ 21 ]

Два типа координации трииодид-иона — по терминальным атомам иода и центральному атому иода (рис. 7) — приводят в первом случае к несимметричной ( $d(I—I)$  2,880(6) и 3,058(5) Å, а во втором — к симметричной структуре трииодид-иона ( $d(I—I)$  2,930 Å).

Бензотиазолин-2-тион образует с молекулярным иодом аддукты состава 1:1 и 1:2 [ 18 ]. Длина связи I—I при координации тиоамидом второй молекулы иода уменьшается с 3,077 до 2,969 Å, а порядок связи возрастает с 0,332 до 0,445, что характерно для аддуктов третьего и второго типов соответственно. ORTEP-диаграммы этих структур приведены на рис. 8.

По данным РСА в кристаллической фазе возможно формирование протяженных цепочек посредством образования межмолекулярных водородных связей NH...I с  $d(N...I)$  3,597 Å [ 42 ].

Рис. 7. Водородные связи в кристаллической структуре  $[(C_7H_6N_2S)_2\Gamma]I_3^-\cdot(C_7H_6N_2S)I_2$ , отражающие два типа координации трииодид-иона [ 21 ]



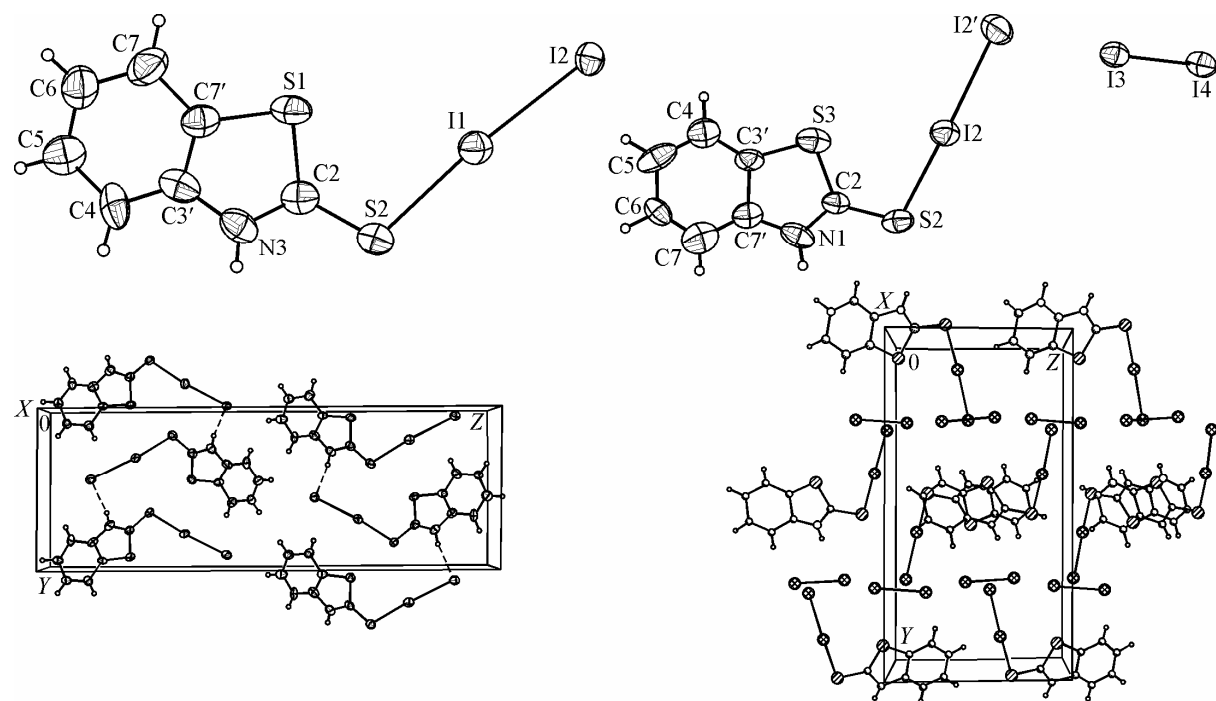


Рис. 8. ORTEP-диаграммы и элементарные кристаллические ячейки бензотиазолин-2-тиона, координирующего одну (слева) и две молекулы иода (справа) [ 18 ]

*N*-Метилбензотиазолин-2-тион образует с молекулярным иодом несколько комплексных соединений, различающихся по составу и структуре. Взаимодействие тиоамида с иодом в соотношении 1:1 приводит к образованию аддукта с незначительным переносом заряда, о чем свидетельствует удлинение связи S—I ( $d(S—I)$ ) 2,808 Å и уменьшение длины связи I—I ( $d(I—I)$ ) 2,791 Å. Порядок связи I—I составляет 0,72, что характерно для внешнесферных комплексов [ 21 ].

Двойной избыток элементарного иода по отношению к тиоамиду способствует формированию иодониевой соли состава  $[(C_8H_7NS_2)_2I^+]I_7^-$  с укороченным расстоянием S—I ( $d(S—I)$ ) 2,600 и 2,634 Å. Гептаиодид-анион формально можно представить как иодид-ион, координирующий 3 молекулы иода с длиной связи I—I от 2,746 до 2,771 Å [ 66 ]. Введение атома Cl в пятое положение молекулы бензотиазолин-2-тиона способствует усилению S—I взаимодействия ( $d(S—I)$  2,634 Å) и образованию с молекулярным иодом аддукта второго типа с  $d(I—I)$  2,9205 Å [ 19 ],  $n(I—I)$  0,507. Копланарное расположение молекул иода в кристаллической структуре аддукта реализуется благодаря образованию межмолекулярных водородных связей между терминальными атомами иода и протонами NH-групп [ 19 ].

Таким образом, молекулярные комплексы бензотиазолин-2-тионов с иодом демонстрируют исключительное разнообразие структур и чувствительность характеристических параметров к введению заместителей в молекулу гетероцикла.

Авторами [ 22 ] структурно охарактеризован комплекс бензоксазолин-2-тиона с иодом состава 1:2 (рис. 9).

О слабом взаимодействии иод—тиоамид свидетельствует длина связи S—I (2,874(2) Å) и межатомное расстояние (2,769(1) Å) в молекуле иода, непосредственно координируемой тиоамидом и лежащей в плоскости органической части. Вторая молекула иода ( $d(I—I)$  2,729(1) Å) ориентирована перпендикулярно.

Широко используемый в клинической практике для лечения болезни Грейвса препарат 6-*n*-пропил-2-тиоурацил (PTU) формирует молекулярный аддукт с иодом состава 1:1, в котором молекула иода слабо ( $d(S—I)$  2,7805 Å) связана с тиоамидной группировкой тиреостатика

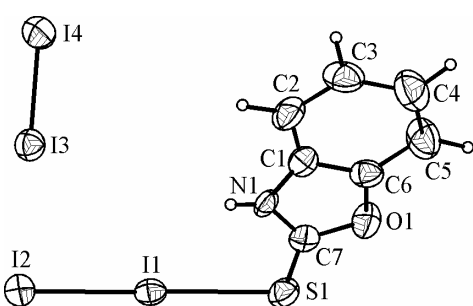


Рис. 9. ORTEP-диаграмма молекулярного комплекса бензоксазолин-2-тиона с иодом [ 22 ]

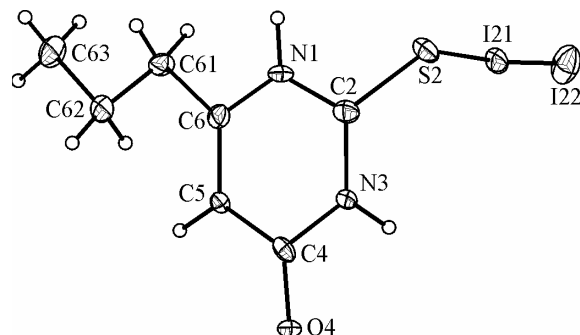


Рис. 10. ORTEP-диаграмма аддукта PTU · I<sub>2</sub> [ 19 ]

и ориентирована ортогонально плоскости гетероцикла (рис. 10). В кристаллической структуре аддукта PTU · I<sub>2</sub> реализуются протяженные межмолекулярные водородные связи NH...O. Длина связи I—I и ее порядок составляют 2,826 Å и 0,655 соответственно, что позволяет отнести соединение к внешнесферным комплексам.

#### ИОДОНИЕВЫЕ СОЛИ

Структуры, свойства и реакционная способность иодониевых солей типа Ar(R)I<sup>+</sup>X<sup>−</sup> (где R — алкинил, алкенил или фторалкильная группа) представлены в обзоре [ 67 ]. Биологическая (противогрибковая, antimikrobnaya, противовирусная, антиферментная) активность и практическое использование моно- и бис(диарил)иодониевых солей описаны в публикации [ 68 ].

Известно ограниченное число иодониевых солей, образованных за счет полного переноса заряда в молекуле иода, координируемой тиоамидом, с последующим формированием димерного фрагмента с мостиковым атомом иода. Структурно охарактеризованы ионные соли на основе тиазолидин-2-тиона ( $C_3H_3NS_2$ ) [ 18 ]. Структура  $[(C_3H_3NS_2)_2I^+]I_3^- \cdot 2I_2$  содержит три фрагмента: один катионный  $(C_3H_3NS_2)_2I^+$ , включающий линкер S—I<sup>+</sup>—S, противоион  $I_3^-$  и две независимые молекулы иода (рис. 11).

Длины обеих связей S—I равны 2,654 Å. Внутримолекулярная водородная связь между протоном NH-группы и мостиковым атомом иода (2,934 Å) способствует реализации планарной структуры. В линейном симметричном анионе  $I_3^-$  расстояние между атомами иода составляет 2,919 Å. Длина связи I—I в независимых молекулах иода составляет 2,741 Å.

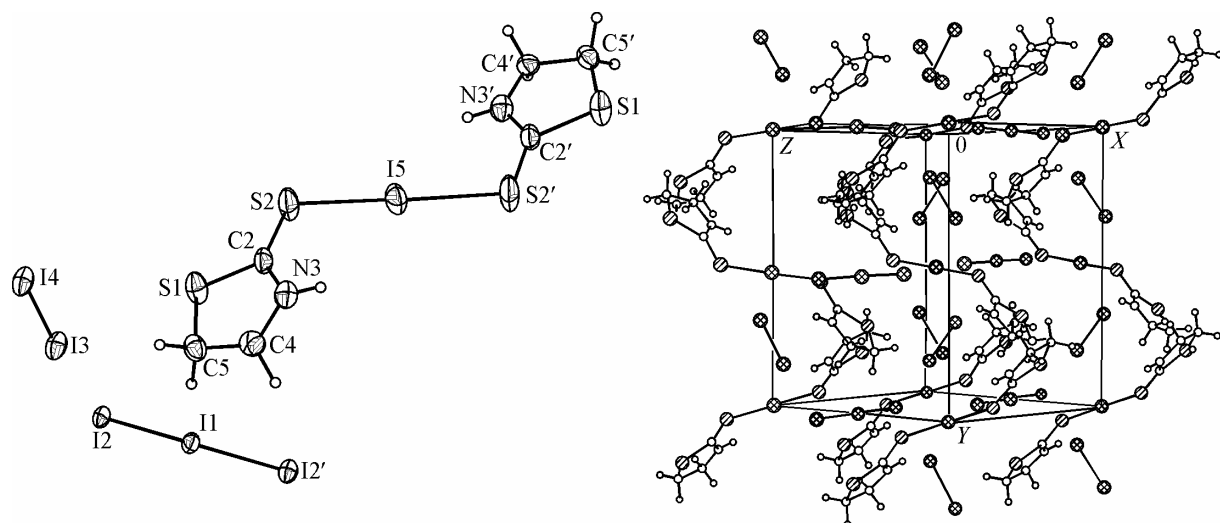


Рис. 11. ORTEP-диаграмма и элементарная ячейка  $[(C_3H_3NS_2)_2I^+]I_3^- \cdot 2I_2$  [ 18 ]

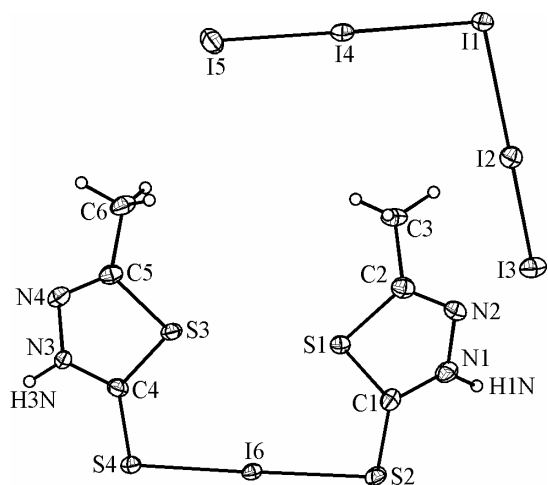


Рис. 12. ORTEP-диаграмма соединения  $[(C_3H_4N_2S_2)_2I^+]I_5^-$  [69]

и пентаиодид-анионами  $I_5^-$  (рис. 12), объединенные за счет водородными связями  $N4 \dots H-N1'$  и  $I1 \dots H-N3'$ , вытянутыми вдоль оси  $c$  (рис. 13).

Характерной особенностью кристаллической соли является образование сдвоенных цепочек (рис. 14) за счет различных диполь-дипольных взаимодействий между атомами иода и серы. Пентаиодид-ион, имеющий V-образную конфигурацию, условно можно рассматривать как иодид-ион (центральный атом  $I1$ ), координирующий две молекулы иода (см. рис. 12). Анализ длин связей  $I-I$  показывает, что молекула иода  $I4-I5$  ( $d(I-I)$  2,840 Å) сильнее взаимодействует с центральным ионом  $I1$  ( $d(I1-I4)$  3,007 Å), а молекула иода  $I2-I3$  ( $d(I-I)$  2,766 Å), в которой расстояние между атомами ближе к длине связи в свободной молекуле иода, — гораздо слабее ( $d(I1-I2)$  3,150 Å).

#### ДИСУЛЬФИДЫ МОНО(ДИ)-КАТИОНОВ

Адиабатические потенциалы ионизации молекул тиолов (тионов) достаточно низкие, что обусловливает легкость их окисления с образованием катион-радикалов, либо с образованием

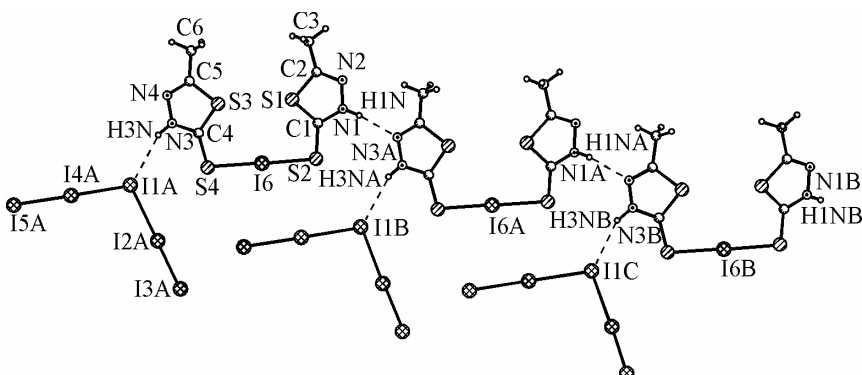


Рис. 13. Цепочки молекул, объединенные за счет водородных связей, расстояния  $N4 \dots H-N1'$  2,16 Å,  $I1 \dots H-N3'$  2,74 Å [69]

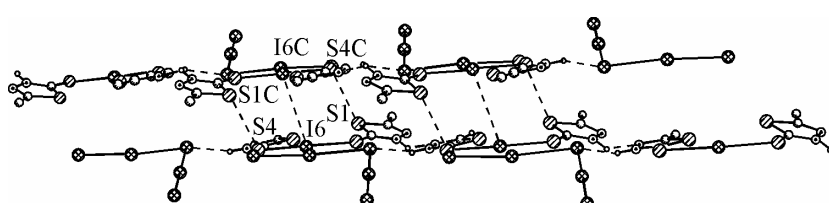


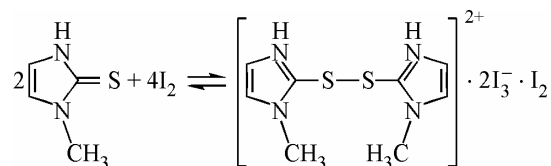
Рис. 14. Сдвоенные цепочки, показаны только самые короткие контакты  $I6 \dots I6'$  и  $S1 \dots S4$  [69]

тиильных радикалов в результате потери тиолом атома водорода [ 70 ]. Реакция окисления особенно быстро протекает при  $\text{pH} \geq 7$  в полярных растворителях. Тиильные радикалы димеризуются с образованием дисульфидов



Такой механизм наблюдается в случае взаимодействия с иодом пиримидин-2-тиона [ 42 ].

Попытки выделения в твердом виде внешнесферного молекулярного комплекса 1-метилимидазолин-2-тиона с иодом неизменно приводили к окислению тиона до дисульфида [ 17, 23 ] по схеме:



Авторами [ 23 ] продукт окисления получен медленным испарением  $\text{CHCl}_3$  при комнатной температуре и контакте с атмосферной влагой, а в работе [ 17 ] продукт выделен из  $\text{CH}_2\text{Cl}_2$  при 258 К; PCA выполнен при 100 и 293 К соответственно. Идентификация соединения выполнена методом ЯМР<sup>1</sup>Н в  $\text{CDCl}_3$  ( $\delta$ , м.д.): 3,71 (с, 6Н, 2NCH<sub>3</sub>); 7,04 (уш.с, 2Н, 2MeNCH); 7,12 (уш. с, 2Н, 2NHCH); 10,10 (уш.с, 2Н, 2NH). Продукт реакции представляет собой дикатион, сформированный в результате димеризации тиильных радикалов с последующим протонированием молекулы дисульфида. Не исключено, что процессу димеризации подвергаются резонансно стабилизированные гетероароматические катион-радикалы. Кристаллическая структура продукта окисления тиона иодом  $[\text{C}_4\text{H}_6\text{N}_2\text{S}]_2(\text{I}_3)_2\text{I}_2$  образована дикатионами  $[\text{C}_4\text{H}_6\text{N}_2\text{S}]_2^{2+}$ , анионами  $\text{I}_3^-$  и молекулой иода (рис. 15).

Катионы и анионы образуют смешанные стопки, в которых между соседними катионами расположены два аниона, различающиеся направлением осей. Молекулы  $\text{I}_2$  расположены между стопками. Трииодид-анионы в структуре  $[\text{C}_4\text{H}_6\text{N}_2\text{S}]_2(\text{I}_3)_2\text{I}_2$  асимметричны. Длины связей в трииодид-ионах составляют I1—I2 2,831 и I2—I3 3,040 Å, I4—I5 2,949 и I4—I6 2,888 Å, а в независимой молекуле иода — 2,745 Å. В структуре обнаружены многочисленные межмолекулярные контакты типа I...I, I...S, I...N между катионами  $[\text{C}_4\text{H}_6\text{N}_2\text{S}]_2^{2+}$ , анионами  $\text{I}_3^-$  и молекулами иода, связывающие дикатионы, анионы и молекулы иода в трехмерные супрамолекулярные ассоциаты (рис. 16).

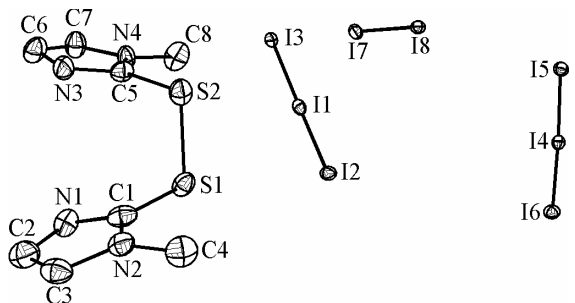


Рис. 15 (слева). ORTEP-диаграмма соединения  $[\text{C}_4\text{H}_6\text{N}_2\text{S}]_2(\text{I}_3)_2\text{I}_2$  [ 23 ]

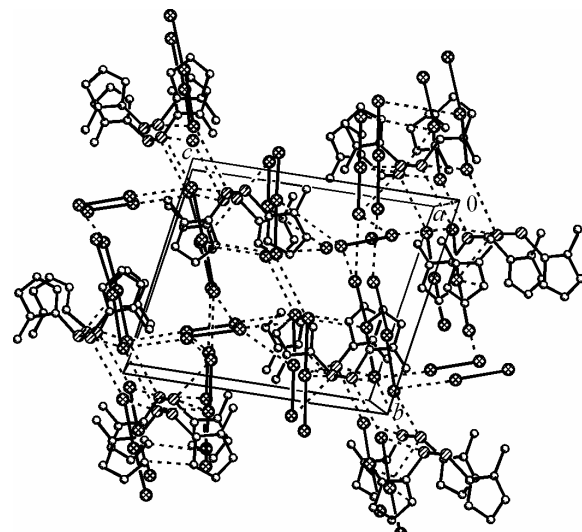


Рис. 16 (справа). Фрагмент кристаллической структуры  $[\text{C}_4\text{H}_6\text{N}_2\text{S}]_2(\text{I}_3)_2\text{I}_2$  вдоль проекции на ось  $a$  [ 23 ]

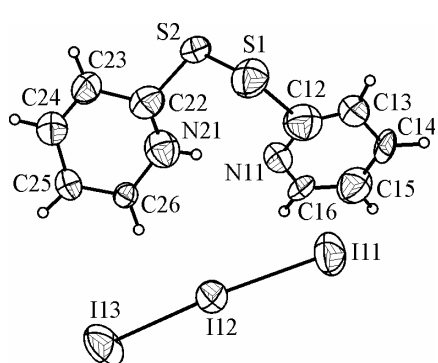


Рис. 17. ORTEP-диаграмма 2,2'-дитио-бис(2-меркаптопиридиния)трииодида [20]

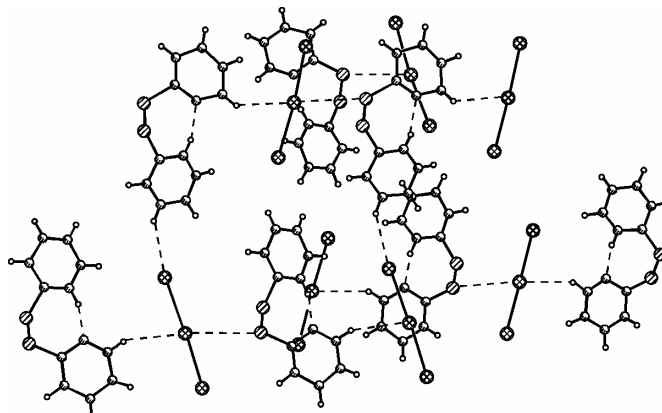
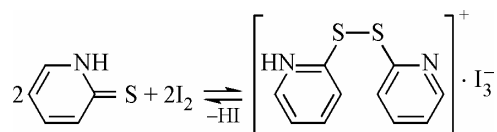


Рис. 18. Межмолекулярные контакты CH...I и S...I в кристаллической структуре  $[C_{10}H_9N_2S_2]^+ \cdot I_3^-$  [20]

Диполярный аprotонный растворитель (атмосферная влага) формирует с молекулами иода  $n-\sigma^*$ -комплекс со значительным переносом заряда (вплоть до образования иодониевого катиона) [71—73] и инициирует образование продукта окисления, координирующего избыток молекулярного иода.

Другой тиоамид, обладающий свойствами потенциального тиреостатика, пиридин-2-тион, реагирует с молекулярным иодом в молярном отношении 1:1, окисляясь до дисульфида по схеме:



Присутствие иона  $\text{I}_3^-$  подтверждается наличием в УФ-спектре молекулы полос переноса заряда при  $\lambda = 295$  и 367 нм и данными РСА (рис. 17).

В кристаллической структуре 2,2'-дитио-бис(2-меркаптопиридиния)трииодида присутствуют 4 типа линейных асимметричных трииодид-анионов, длины связей I—I в которых варьируют от 2,855 до 2,968 Å. Все центральные атомы иода  $\text{I}_3^-$  формируют сеть межмолекулярных контактов с катионами через образование связей CH...I и S...I, а терминальные атомы иода участвуют в образовании связей CH...I. Сильная внутримолекулярная водородная связь между NH-протоном и атомом азота непротонированного гетероароматического фрагмента,  $d(\text{N}21\text{H} \dots \text{N}11)$  2,74 Å стабилизирует катионную структуру (рис. 18).

Таким образом, механизм процесса окисления (образование дисульфида или иодониевой соли) зависит от электронодонорных свойств молекулы тиоана, обусловленных природой гетероароматического фрагмента. Гетероциклические тиоамиды формируют с молекулами иода  $n-\sigma^*$ -комплекс с переносом заряда и инициируют образование продуктов окисления, координирующих избыток молекулярного иода.

Тиоамиды, производные имидазола и пиридина, при взаимодействии с иодом образуют протонированные продукты окисления состава  $[\text{D}-\text{S}-\text{S}-\text{D}]^{2+} \cdot (\text{I}_3^-)_2$ , способные координировать избыточное количество иода в составе анионов.

Тиоамиды на основе тиазола, тиазолидина, тиадиазола и бензимидазола инициируют полный перенос заряда в молекуле  $\text{I}_2$  в составе аддукта и образуют иодониевые соли, включающие линкер  $\text{S}-\text{I}^+-\text{S}$  и противоион, содержащий до семи атомов иода ( $\text{I}_3^-$ ,  $\text{I}_5^-$  или  $\text{I}_7^-$ ). Продукты взаимодействия тионов молекулярным иодом могут способствовать выведению избытка активных форм иода ( $\text{I}_2$ ,  $\text{I}^\cdot$ ) из организма.

## ТЕРМОДИНАМИЧЕСКАЯ УСТОЙЧИВОСТЬ КОМПЛЕКСОВ ИОДА С ТИОАМИДАМИ И ПРОДУКТАМИ ИХ ОКИСЛЕНИЯ

Специфические особенности антиреоидной активности гетероароматических тиоамидов зависят от структуры и термодинамической устойчивости их молекулярных комплексов с иодом [ 41, 74 ]. Авторами [ 75 ] на основании гистологического исследования щитовидной железы и анализа гормонов T<sub>3</sub> и T<sub>4</sub> обнаружена хорошая корреляция между антиреоидной активностью *in vivo* и константами устойчивости органических оснований с молекулярным иодом.

Систематическому изучению устойчивости молекулярных аддуктов, образованных за счет взаимодействия ВЗМО гетероциклических тиоамидов с НСМО ( $\sigma^*$ -типа) молекулы иода, спектрофотометрическим методом сдвига равновесия в малополярных и неполярных растворителях посвящен ряд публикаций [ 39, 41, 45 ]. Равновесие комплексообразования между тиоамидом (D) и молекулярным иодом характеризуется константой устойчивости  $\beta$ .

$$\beta = \frac{[D \cdot I_2]}{[D] \cdot [I_2]}. \quad (1)$$

Формирование аддуктов в растворах подтверждается появлением новой интенсивной полосы переноса заряда в UV/Vis-спектре смеси донора с иодом. При образовании достаточно прочного комплекса ( $\lg \beta \geq 4,5$ ) для оценки константы устойчивости целесообразно использовать метод насыщения, который позволяет проводить расчет константы устойчивости методом наименьших квадратов по уравнению (2), представляющему собой линейную анаморфозу уравнения (1):

$$\lg \frac{A_i}{A_{\text{пред}} - A_i} = \lg \beta + n \lg \left( C_{I_2} - \frac{A_i}{A_{\text{пред}}} C_D \right), \quad (2)$$

где  $A_i$  и  $A_{\text{пред}}$  — текущая и предельная оптические плотности растворов при  $\lambda_{\text{max}}$  поглощения комплекса;  $n$  — число молекул иода, координируемых донором;  $C_{I_2}$  — общая концентрация молекулярного иода;  $C_D$  — общая концентрация донора.

В случае образования комплексов средней и слабой силы используют уравнение Бенеши—Хильдебранда, его варианты [ 41 ], или метод среднеиодного числа [ 76 ]. Уравнение Бенеши—Хильдебранда позволяет сначала приблизительно оценить молярный коэффициент светопоглощения и константу устойчивости комплекса состава 1:1 по уравнению:

$$\frac{l \cdot C_D}{A_i} = \frac{1}{\varepsilon_{DI_2}} + \frac{1}{\beta_{DI_2} \cdot \varepsilon_{DI_2}} \cdot \frac{1}{C_{I_2}}, \quad (3)$$

а затем методом последовательных приближений по уравнению (4) уточнить эти характеристики:

$$\frac{l \cdot C_D}{A_i} = \frac{1}{\varepsilon_{DI_2}} + \frac{1}{\beta_{DI_2} \cdot \varepsilon_{DI_2}} \cdot \frac{1}{C_{I_2} - \frac{A_i}{l \cdot \varepsilon_{DI_2}}}. \quad (4)$$

В этом уравнении  $C_D$  и  $C_{I_2}$  — общие концентрации донора и иода, М;  $l$  — толщина поглощающего слоя, см;  $A_i$  — оптическая плотность аддукта;  $\varepsilon_{DI_2}$  — коэффициент молярного светопоглощения,  $M^{-1} \cdot cm^{-1}$ ;  $\beta_{DI_2}$  — константа устойчивости исследуемого комплекса,  $M^{-1}$ .

Метод среднеиодного числа основан на использовании функции "среднеиодного числа"  $\bar{n}_{I_2}$  — числа молекул элементарного иода, координируемых в растворе молекулой гетероароматического тиоамида. Метод позволяет определить константу устойчивости аддукта не по полосе переноса заряда комплекса, которая в некоторых случаях не имеет четко выраженного максимума, а по полосе поглощения свободного иода. Кроме того, это один из немногих методов, позволяющих оценить устойчивость аддуктов сложного состава.

Вид зависимости функции среднеиодного числа от равновесной концентрации иода  $[I_2]$  позволяет сделать вывод о предельном количестве молекул иода, координируемых молекулой

тиоамида. Если значения среднеиодного числа для соединений находятся в пределах  $0 < \bar{n}_{I_2} < 1$ , то расчет констант устойчивости выполняют по уравнению:

$$\frac{\bar{n}_{I_2}}{(1 - \bar{n}_{I_2})} = \beta_1 [I_2]. \quad (5)$$

Константы устойчивости ( $\beta_1$  и  $\beta_2$ ) при  $0 < \bar{n}_{I_2} < 2$  рассчитывают методом наименьших квадратов по уравнению:

$$\frac{\bar{n}_{I_2}}{(1 - \bar{n}_{I_2})[I_2]} = \beta_1 + \beta_2 \frac{(2 - \bar{n}_{I_2})[I_2]}{(1 - \bar{n}_{I_2})}. \quad (6)$$

Результаты расчетов устойчивости молекулярных аддуктов с иодом в ряду имидазолидин-2-тионов, выполненные спектрофотометрическим методом последовательных приближений по уравнениям (3) и (4), представлены в работе [77]. Устойчивость молекулярных комплексов незначительно возрастает при метилировании имидазолидин-2-тионов по положениям 1 и 1,3 ( $\lg\beta$  увеличивается от 4,7 до 4,9). Этилирование по N-положениям снижает устойчивость молекулярных комплексов с иодом на порядок. Введение метильной группы в четвертое или пятое положение незначительно повышает ( $\lg\beta$  4,87), а введение электроноакцепторного фенильного радикала снижает устойчивость аддуктов ( $\lg\beta$  4,10) [63]. Замена NH-группы гетероцикла на атомы серы и кислорода приводит к снижению устойчивости молекулярных аддуктов: для NH- и N-метил-тиазолидин-2-тионов  $\lg\beta$  составляет 3,46 и 3,06 соответственно, а для NH-оксазолидин-2-тиона — 2,85 [78].

При рассмотрении стабильности молекулярных аддуктов бензаннелированных аналогов имидазолин-2-тионов с иодом можно отметить самую высокую устойчивость аддукта 1-метилбензимидазолин-2-тиона ( $\lg\beta$  порядка 4,0), и ее снижение как для незамещенного, так и для 1,3-диметилзамещенных производных ( $\lg\beta$  3,66 и 3,68). В целом наблюдается снижение на порядок устойчивости молекулярных аддуктов с иодом при бензаннелировании имидазолин-2-тионов.

Очень сильное влияние на стабильность молекулярных комплексов бензазолов с иодом оказывает природа гетероатома в кольце. Замена NH-группы на атомы серы и кислорода приводит к снижению устойчивости молекулярных аддуктов бензотиазолин-2-тионов и бензоксазолин-2-тионов с иодом соответственно на один и два порядка [21].

Логарифмы констант устойчивости молекулярных аддуктов пиридин-2-тиона, 2-тиоурацила и 6-метил-2-тиоурацила, 6-n-пропил-2-тиоурацила с иодом, рассчитанные методом среднеиодного числа, составляют соответственно: 4,5, 2,9, 3,1 и 3,5 [79].

В работе [23] впервые сделана оценка координирующей способности продукта окисления 1-метилимидазолин-2-тиона — 2,2'-дитио-бис-(1-метилимидазолин-2-ил)дииодида — по отношению к молекулярному иоду. Определение количества молекул иода, координируемых дииодидом дикатиона, и констант устойчивости ( $\beta_1$  и  $\beta_2$ ) при  $0 < \bar{n}_{I_2} < 2$  выполнено спектрофотометрическим методом с использованием функции "среднеиодного числа". Соответствующие значения логарифмов констант устойчивости дитриодида дикатиона, равные 3,6 и 9,2, свидетельствуют о высокой степени удерживания молекулярного иода в комплексном соединении.

Возрастающий интерес к изучению устойчивости КПЗ иода с тиоамидами или тионами [18, 61] вызван не только стремлением детализировать механизм органификации иода, но и поиском новых препаратов тиреостатического действия.

## ЗАКЛЮЧЕНИЕ

Сравнительная оценка электронодонорной способности тиоамидов по отношению к молекулярному иоду позволяет установить связь между структурой соединений и механизмом их антитиреоидной активности. На основании данных рентгеноструктурного анализа и Рамановской спектроскопии установлено, что молекулярные аддукты демонстрируют исключительную чувствительность структурных параметров (длина связей I—I и S—I и ориентация молекулы

иода) к изменению типа гетероатома, введению заместителей и бензаннелированию молекулы гетероцикла.

Очевидно, что антитиреоидные препараты, подобные *N*-метилимидазолин-2-тиону или пиридин-2-тиону, вмешиваются в механизм иодинации, взаимодействуя с соединениями активного иода и конкурируя с тирозильными фрагментами тиреоглобулина.

Тиоамиды, производные имидазола и пиридина, при взаимодействии с иодом образуют протонированные продукты окисления состава  $[D—S—S—D]^{n+}(I_3^-)_n$  ( $n = 1$  и  $2$ ), способные координировать избыточное количество иода в составе анионов.

Тиреостатики на основе тиазола, тиазолина, тиадиазола и бензимида, образуя  $n-\sigma^*$ -комплекс с молекулярным иодом, инициируют полный перенос заряда в молекуле иода и формируют иодониевые соли за счет образования 3-центровой 10-электронной молекулярной орбитали с линейным линкером  $S—I^+—S$ .

Производные тиоурацила ингибируют активность энзима иодотиронин деиодиназы, ответственного за превращение прогормона  $T_4$  в гормон  $T_3$  [27]. Помимо этого, пропилтиоурацил инактивирует окислительную реакцию конденсации дииодтирозинов в синтезе  $T_4$ .

В настоящее время исследования в направлении синтеза и дизайна новых препаратов класса гетероароматических тиоамидов, сочетающих способность обратимо ингибировать активность ТПО и лимитировать процесс превращения прогормона  $T_4$  в гормон  $T_3$ , продолжаются [27].

#### СПИСОК ЛИТЕРАТУРЫ

1. Vieites M., Smircich P., Parajòn-Costa B. et al. // J. Biol. Inorg. Chem. – 2008. – **13**, N 5. – P. 723.
2. Franklyn J. // Clin. Med. – 2003. – **3**. – P. 11.
3. Sahasranaman S., Howard D., Roy S. // Eur. J. Clin. Pharmacol. – 2008. – **64**, N 8. – P. 753.
4. Пат. 5945426 США // РЖХим. – 2000, 19O102.
5. Abdel-Rahman A.H., Abdel-Aal M.T. // Pharmazie. – 1998. – **53**. – P. 377.
6. Пат. 98112915 Европа // РЖХим. – 1999, 23O136.
7. Larson J.S., Abdel A.M.T., Pedersen E.B. et al. // J. Heterocycl. Chem. – 2001. – **38**. – P. 679.
8. Sudbeck E.A., Mao C., Venkatachalam T.K. et al. // Antimicrob. Agents Chemother. – 1998. – **42**, N 12. – P. 3225.
9. Laurence C., El Ghomari M.J., Berthelot M. // J. Chem. Soc., Perkin Trans 2. – 1998. – P. 1163.
10. Laurence C., El Ghomari M.J., Lucon M. // J. Chem. Soc., Perkin Trans 2. – 1998. – P. 1159.
11. Кемтайль В.М., Арка Р.А. Патофизиология эндокринной системы. – М.: Бином, 2001.
12. Кубарко А.И., Yamashita S., Денисов С.Д. и др. В кн.: Щитовидная железа. Фундаментальные аспекты. Минск–Нагасаки: Omuro-Print, 1998. – С. 31.
13. Brent G.A. // New Engl. J. Med. – 1994. – **331**, N 13. – P 847.
14. Кононов Е.И., Курдюмов Ф.И. Гормоны щитовидной железы. – М.: Изд-во МГУ, 2004.
15. Laurence C., Ghomari M.J.El., Questel J.Y.Le. et al. // J. Chem. Soc., Perkin Trans. 2. – 1998. – P. 1545.
16. Aragoni M.C., Arca M., Demartin F. et al. // J. Amer. Soc. – 2002. – **124**, N 17. – P. 4538.
17. Arca M., Aragoni M.C., Devillanova F.A. et al. // Bioinorg. Chem. Appl. – 2006. – Article ID 58937, p. 12.
18. Daga V., Hadjikakou S.K., Hadjiliadis N. et al. // Eur. J. Inorg. Chem. – 2002. – P. 1718
19. Antoniadis C.D., Corban G.J., Hadjikakou S.K. et al. // Eur. J. Inorg. Chem. – 2003. – P. 1635.
20. Antoniadis C.D., Hadjikakou S.K., Hadjiliadis N. et al. // Eur. J. Inorg. Chem. – 2004. – P. 4324.
21. Corban G.J., Hadjikakou S.K., Hadjiliadis N. et al. // Inorg. Chem. – 2005. – **44**, N 23. – P. 8617.
22. Cristiani F., Devillanova F.A., Isaia F. et al. // Polyhedron – 1995. – **14**, N 20-21. – P. 2937.
23. Черновьянц М.С., Хохлов Е.В., Лыкова Е.О. и др. // Изв. АН. Сер. хим. – 2008. – **6**. – С. 1215.
24. Taurog A., Dorris M.L., Doerge D.R. // Arch. Biochem. Biophys. – 1996. – **330**. – P. 24.
25. Oza V.B., Salamonczyk G.M., Guo Z. et al. // J. Amer. Chem. Soc. – 1997. – **119**, N 46. – P. 11315.
26. Ruf J., Carayon P. // Arch. Biochem. Biophys. – 2006. – **445**, N 2. – P. 269.
27. Roy G., Mugesh G. // Chem. Biodivers. – 2008. – **5**, N 3. – P. 414.
28. Taurog A. In: The Thyroid / Eds. L.E. Braverman and R.D. Utiger. – Philadelphia: Lippincott, Williams & Wilkins, 2000. – P. 61.
29. Divi R.L., Doerge D.R. // Chem. Res. Toxicol. – 1996. – **9**, N 1. – P. 16.
30. Doerge D.R., Divi R.L., Deck J. et al. // Chem. Res. Toxicol. – 1997. – **10**, N 1. – P. 49.
31. Doerge D.R., Chang H.C., Divi R.L. et al. // Chem. Res. Toxicol. – 1998. – **11**, N 9. – P. 1098.

32. Nguyen N.H., Apriletti J.W., Lima S.T.C. et al. // *J. Med. Chem.* – 2002. – **45**, N 15. – P. 3310.
33. Antoniadis C.D., Hadjikakou S.K., Hadjiliadis N. et al. // *Chem. Eur. J.* – 2006. – **12**. – P. 6888.
34. Antoniadis C.D., Blake A.J., Hadjikakou S.K. et al. // *Acta Crystallogr., Sect. A*. – 2006. – **62**, N 4. – P. 580.
35. Roohi H., Ebrahimi A., Habibi S.M. // *J. Mol. Struct. (Theochem)* – 2004. – **710**. – P. 77.
36. Черновьянц М.С., Бурыкин И.В. // *Изв. АН. Сер. хим.* – 2009. – № 9. – С. 1716.
37. Papayannis D.K., Kosmas A.M. // *J. Mol. Struct. (Theochem)*. – 2008. – **851**. – P. 175.
38. Aragoni M.C., Arca M., Demartin F. et al. // *Trends Inorg. Chem.* – 1999. – **6**. – P. 1
39. Cristiani F., Demartin F., Devillanova F.A. et al. // *J. Chem. Soc. Dalton Trans.* – **1992**. – P. 3553.
40. Boyle P.D., Christie J., Dyer T. et al. // *J. Chem. Soc., Dalton Trans.* – 2000. – P. 3106.
41. Aragoni M.C., Arca M., Devillanova F.A. et al. // *Coord. Chem. Rev.* – 1999. – **184**. – P. 271.
42. Hadjikakou S.K., Hadjiliadis N. // *Bioinorg. Chem. Appl.* – 2006. – Article ID 60291, p. 10.
43. Parigoridi I.E., Corban G.J., Hadjikakou S.K. et al. // *Dalton Trans.* – **2008**. – P. 5159.
44. Corban G.J., Antoniadis C., Hadjikakou S.K. et al. // *Bioinorg. Chem. Appl.* – 2006. – Article ID 68542, p. 5.
45. Salman H.M.A., Abu-Krisha M.M., El-Sheshtawy H.S. // *Canad. J. Anal. Sci. Spectr.* – 2004. – **49**. – P. 282.
46. dosSantos J.H.Z., Daga I.S., Hadjikakou S.K. et al. // *Spectr. Acta Part A*. – 2002. – **58**, N 12. – P. 2725.
47. Boyle P.D., Godfrey S.M. // *Coord. Chem. Rev.* – 2001. – **223**. – P. 265.
48. Näther C., Bolte M. // *Phosphorus, Sulfur and Silicon*. – 2003. – **178**, N 3. – P. 453.
49. Raczynska E.D., Kosinska W., Osmialowski B., Gawinecki R. // *Chem. Rev.* – 2005. – **105**, N 10. – P. 3561.
50. Katritzky A.R., Jug K., Oniciu D.C. // *Chem. Rev.* – 2001. – **101**, N 5. – P. 1421.
51. Moran D., Sukcharoephon K., Puchta R. et al. // *J. Org. Chem.* – 2002. – **67**, N 25. – P. 9061
52. Bigoli F., Deplano P., Mercuri M.L. et al. // *J. Chem. Soc. Dalton Trans.* – **1996**. – P. 3583.
53. Bigoli F., Deplano P., Ienco A. et al. // *Inorg. Chem.* – 1999. – **38**, N 21. – P. 4626.
54. Deplano P., Ferraro J.R., Mercuri M.L. et al. // *Coord. Chem. Rev.* – 1999. – **188**, N 1. – P. 71.
55. Deplano P., Devillanova F.A., Ferraro J.R. et al. // *Appl. Spectroscop.* – 1992. – **46**, N 11. – P. 1625.
56. Bigoli F., Deplano P., Mercuri M.L. et al. // *Canad. J. Chem.* – 1995. – **73**, N 3. – P. 380.
57. van Bolhuis F., Kotter P.B., Migchelsen T. // *Acta Crystallogr.* – 1967. – **23**. – P. 90.
58. Bigoli F., Deplano P., Devillanova F.A. et al. // *Gazz. Chim. Ital.* – 1994. – **124**, N 11. – P. 445.
59. Cooper D.S. // *N. Engl. J. Med.* – 2005. – **352**, N 19. – P. 905.
60. Cristiani F., Demartin F., Devillanova F.A. et al. // *Heteroat. Chem.* – 1994. – **5**. – P. 65.
61. Esseffar M., Bouab W., Lamsabhi A. et al. // *J. Amer. Chem. Soc.* – 2000. – **122**, N 10. – P. 2300.
62. Черновьянц М.С., Хохлов Е.В., Бородкин Г.С. // Тез. докл. III Междунар. конф. по новым технологиям и приложениям современных физико-химических методов для изучения окружающей среды. – Ростов-на-Дону, 2005. – **1**. – С. 61.
63. Suszka A. // *J. Chem. Perkin Trans. 2*. – 1985. – P. 531.
64. Freeman F., Ziller J.W., Po H.N., Keindl M.C. et al. // *J. Amer. Chem. Soc.* – 1988. – **110**, N 8. – P. 2586.
65. Herbstein F.H., Schwotzer W. // *J. Amer. Chem. Soc.* – 1984. – **106**. – P. 2367.
66. Demartin F., Deplano P., Devillanova F.A. et al. // *Inorg. Chem.* – 1993. – **32**, N 17. – P. 3694.
67. Zhdankin V.V., Stang P.J. // *Chem. Rev.* – 2008. – **108**, N 12. – P. 5299.
68. Stang P.J., Zhdankin V.V. // *Chem. Rev.* – 1996. – **96**, N 3. – P. 1123.
69. Черновьянц М.С., Алешина Н.В., Старикова З.А. и др. // *Изв. АН. Сер. хим.* – в печати.
70. Воронцов А.В. // *Успехи химии* – 2008. – **77**, № 10. – С. 973.
71. Подгорная Е.Б., Черновьянц М.С., Щербаков И.Н. и др. // *Журн. общ. химии*. – 1999. – **69**, № 1. – С. 109.
72. Симонян С.С., Черновьянц М.С. // *Журн. физ. химии*. – 2005. – **79**, № 11. – С. 2014.
73. Симонян С.С., Черновьянц М.С., Лыкова Е.О. // *Журн. физ. химии*. – 2005. – **79**, № 10. – С. 1814.
74. Buxeraud J., Absil A.B., Claude J. et al. // *Eur. J. Med. Chem. – Chim Ther.* – 1985. – **20**. – P. 43.
75. Raby C., Lagorce J.F., Jambut-Absil A.C. et al. // *Endocrinology*. – 1990. – **126**, N 3. – P. 1683.
76. Черновьянц М.С., Подгорная Е.Б., Пышцев А.И. и др. // *Журн. общ. химии*. – 1998. – **68**, № 5. – С. 822.
77. Lagorce J.F., Buxeraud J., Jambut-Absil A.C. et al. // *Heterocycles*. – 1990. – **31**. – P. 1609.
78. Devillanova F.A., Verani G. // *J. Heterocycl. Chem.* – 1979. – **16**. – P. 945.
79. Долинкин А.О. // Тез. докл. Междунар. конгресса "Перспектива-2007". – Нальчик, 2007. – **3**. – С. 269.